

Stream Function Theory の適用に関する研究

島根大学工学部 正 野田英明 ○(株)奥村組 正 塚田英春

1. まえがき

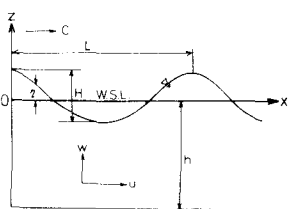
Dean によって提案された Stream Function Theory は、波動理論における境界条件をできるだけ簡単にする
有限差分法、数值擾動法によって求めようとするものである。その有用性はすでに示されており、Dean は何種
類かの波の諸特性について波形や水粒子速度、波高などを数表にまとめていて、その計算過程と手法の詳細に
ついては省略していい。この研究は、この Stream Function Theory を利用しやすくするために、計算式を展開し、電子計算機による計算手順を検討するところが目的で Dean の作成した数表を利用してデーターを入力させ、計算手順の妥当性を検討することである。

2. Stream Function Theory の概要

詳細は、Dean の論文を参照されたいが、ここでは直接計算に必要な重要な概念および計算手順について説明する。図 1 にここで用いた座標系を示す。

Stream Function Theory は、底境界条件および水面における運動学的境界条件と同時に漏れ条件を次式のように定義する。すなはち

$$\psi(x, z) = \frac{L}{T} z + \sum_{n=1}^N X(n) \sinh \left[\frac{2\pi n L}{L} (h+z) \right] \cos \left(\frac{2\pi n}{L} x \right) \quad (1)$$



ただし、式(1)における ψ および $X(n)$ ($n=1, 2, \dots, N$) は未知量であり、さらにもう一つの境界条件、すなはち水面における力学的境界条件を用いて、できるだけ合理的に決定する。式(1)において、 $z=L$ における水面の変位は、

$$\eta = \frac{L}{T} \psi - \frac{L}{L} \sum_{n=1}^N X(n) \sinh \left[\frac{2\pi n L}{L} (h+\eta) \right] \cos \left(\frac{2\pi n}{L} x \right) \quad (2)$$

図 1 座標系

とえられる。ここで、 ψ は水面における流れ関数を表す一定値である。

つぎに、水面における力学的境界条件

$$\eta + \frac{1}{2g} [(u_1 - c)^2 + w_1^2] - \frac{c^2}{2g} = Q \quad (3)$$

の左边は一定値であるが、従来の波動理論を用ひながら方向に変動しておき、次のようないずれかをとる。

$$E = \frac{1}{2} \sum_j (q_j - \bar{Q})^2, \quad \bar{Q} = \frac{1}{J} \sum_j q_j \quad (4)$$

ここで、 q_j は x 方向に波長 L を $(J-1)$ に等分割した j 番目の Q の値であり、 \bar{Q} はその一波長にわたり平均値である。Stream Function Theory はこの偏差 E を最小にすることによって、最小自乗法を用いるものである。しかし、この最小自乗法は $(N+1)$ 個の非線型の連立方程式となるために、反復計算法によらず、最適の ψ および $X(n)$ を求めるにはねばならない。したがって、第 k 回目の反復計算を $\psi^{(k)}$ および $X^{(k)}$ と表わすならば、第 $(k+1)$ 回目の道は、

$$\begin{aligned} L^{k+1} &= L^k + \alpha \Delta \\ X^{(k)} &= X^{(k)} + \alpha X^{(k)} \quad (n=1, 2, \dots, N) \end{aligned} \quad \left. \right\} (5)$$

によって計算できることになり、ここで問題は Δ および $X^{(k)}$ を算定する方法をみだすことである。

そこで、第 $(k+1)$ 回目の q_j を、

$$Q_j^{k+1} = Q_j^k + \frac{\partial Q_j^k}{\partial L} \Delta L + \sum_{n=1}^N \frac{\partial Q_j^{k+1}}{\partial X(n)} \Delta X(n) \quad (6)$$

と近似することにより、各増分に対して $(N+1)$ 個の線型連立方程式がえられる。

以上の計算式を用いて、式(4)の偏差がある値以下にはじめ最適解とみなし計算を終了する。これらの式は次元をもつていたために無次元化を行ない、図-2に示す流れ図に従って計算を進める。

データーの読み込みは、波高 H 、周期 T 、水深 h および stream Function Theory の級数展開で用いる項数 N 、一波長を分割したステップ数 J の 5つである。初期値として、波長 L は微小振幅波理論によつて与えられる線形波長を用い、 $X(1)$ は微小振幅波理論によつて与えられる水面での最大水平水粒子速度 ψ 、Stream Function Theory の N を 1 としてときの水粒子速度を等しくすることにより求めた値を用いる。その他 $X(n)$ ($n=2, 3, \dots, N$) および ψ の初期値はすべてゼロとする。その後、これらの値を満足する水面形状および水面における流れ関数を決定し、水面における力学的境界条件の誤差を $E = \sqrt{E}$ (ここで $E = E/\psi^2$) と定義し、この誤差がある値以下にならなければ計算を終了する。この $E > \epsilon$ であれば、さらに各増分に対する建立方程式を解き、式(5)により新しい ψ や $X(n)$ を決定し、再度 ψ および ψ の計算を繰り返す。

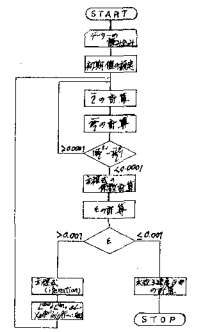


図-2 流れ図

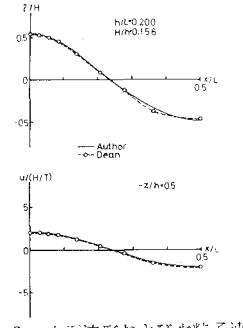


図-3 水面波形および水粒子速度

3. 計算手法の妥当性

Dean の提案した Stream Function Theory の基本式にちびぎり、計算式を展開して電子計算機のプログラムを作成した。しかし、計算は不安定性のよひちらといえず、計算の途中で発散するケースや亦許容限を超過する解によっては必ず解がゼロに近づく場合もあり、たゞその結果、Dean が 40 ケースについて行なった計算を行なったにもかかわらず、この計算手法を用いたところでは一回で計算可能とはいはずだ。そのための 1 ケースを図-3 に示す。この図の上側は無次元水面波形 $u(t)/H$ 、下側は水平水粒子速度を $(H/T)^{1/2}$ で無次元化した $w(t)/H(T)^{1/2}$ の左側の実測の半波長分である。この図からわかるように、計算可能な 1 ケースでは、谷の位相附近の一節で Dean の計算結果と若干の相違が生じるがほんの一例といつようである。

以上の結果、この計算手法を用いながら、波の条件によって是好しが、 $h/L \geq 0.5$ の場合では計算可能となり、実測值と比較しても非常に有効であるが、 $h/L < 0.5$ か、または H/h の値が大きくなり碎波に近づくケースでは、計算の途中で発散するものが多くなる。これは初期値の設定に問題を含んでおり、級数の項数を順次上げて初期値を決定してゆけばならないと考えられる。また、ここで $\epsilon \leq 0.001$ にして最適値を求めたが、それ以降も計算を繰り返し、その値を 0.001 に収束していかなくては限らない。そこで、 $\epsilon = 0.001$ で決定せずに、さらに検討する必要があると考えられる。今後、この計算手法を改良して、さらに広い範囲で適用できるように検討するつもりである。

参考文献 1) Dean, R. G.: Stream Function Representation of Nonlinear Ocean Waves, Jour. Geophysical Res., Vol. 70, No. 18, 1965, pp. 4561~4572. 2) Dean, R. G.: Relative Validity of Water Wave Theories, Proceedings, ASCE Speciality Conference on Civil Engineering in The Oceans, San Francisco, 1968, pp. 1~30. 3) Dean, R. G.: Evaluation and Development of Water Wave Theory for Engineering Application, Presentation of Result, Special Report No. 1, November, 1974.